

# بررسی نظری و تجربی زمان پرشدن قالب در فرایند قالبگیری انتقالی رزین

A Theoretical and Experimental Study of the Mould Filling Time in Resin Transfer Moulding Process

علی فضیحی دستورالعملی، محمدحسین بهشتی<sup>\*</sup> حبیب رحیمی

تهران، پژوهشگاه پلیمر ایران، صندوق پستی ۱۱۵/۱۴۹۶۵

دریافت: ۷۸/۱۱/۶، پذیرش: ۷۸/۱۱/۸

## چکیده

پکی از عوامل موثر بر انتقالی رزین هر فرایند، کاهش زمان پرشدن ساخت قطعات تولیدی است. فرایند های ساخت کامپوزیتها عموماً چرخه قالبگیری طلاسی دارند و زمان پرشدن قالب تاثیری اساسی بر زمان فرایند و در تئییمه اقتصادی نر شدن آن بروزه فرایند RTM به عنوان یکی از روش های مهم ساخت قطعات کامپوزیتی دارد. در این مقاله، چگونگی پرشدن قالب در فرایند RTM به صورت تجربی بررسی شده و نتایج آن با نتایج نظری حاصل از حل معادله دارسی به روش حل عددی اجزای محدود، که با استفاده از نرم افزار LCMF01 صورت گرفته، مقایسه شده است. همچنین، اثر رخدانی از متغیر های فرایند نظری شار تزریق رزین، مقادیر الاف و گرانزوی رزین پرشدن قالب پیر از روایی شده است. نتایج حاصل تسان دهدۀ طبقن قابل قبول نتایج نظری و تجربی تو مورد آن است که قبل از ساخت هر قالب و تعیین محل تزریق دسایر شرایط فرایند، بررسی متغیر های فرایند به کمک مدل سازی با توجه به معرفه جویی در هریه و وقت ضروری است.

واژدهای کلیدی: قالبگیری انتقالی رزین، شیوه سازی پرشدن قالب، متغیر های فرایند، پیش شکلگیری، کامپوزیت

Key Words: resin transfer moulding, mould filling simulation, processing factors, moulding cycle, composite

را بیرون می راند و الاف را آغازه می سازد. زمانی که پخت کامل شد، قالب باز شده و قطعه از درون آن برداشته می شود و فرایند برای تولید قطعه بعدی آمده می باشد [۱، ۲]. مراحل مختلف این روش شکل دهنده در شکل ۱ نشان داده شده است.

انتخاب مناسب متغیر های فرایند علاوه بر تأثیر مستقیم بر کیفیت محصول، منجر به کاهش چرخه قالبگیری خواهد شد [۳، ۴]. علاوه بر دیگر متغیر های فرایند، انتخاب مناسب محل یا محله های تزریق و خروج هوا در قالب نیز تأثیر اساسی بر کاهش زمان قالبگیری و اقتصادی نر شدن فرایند دارد [۵، ۶]. بررسی نظری فرایند پرشدن قالب

مقدمه

فرایند قالبگیری انتقالی رزین (RTM) فرایندی موثر برای ساخت انواع محصولات کامپوزیتی با هر درجه پیچیدگی و اندازه است. در این فرایند، ابتدا الاف به ابعاد موردنظر بریده و پیش شکل داده می شود. سپس، تقویت کننده پیش شکل داده شده درون حفره قالب قرار می گیرد و قالب به کمک گیره یا پرس با قشار کم بسته می شود. رزین و عوامل پخت که از قبل مخلوط شده اند به وسیله دستگاه تزریق درون قالب تزریق می شود. رزین درون قالب پیش می رود؛ هوای درون قالب

\*ستاد مکاتبات، پیام نگار: M.Beheshty@proxy.ipm.ac.ir

برای قالب‌های نازک بدینه است که تغییر فشار (و تابران تغییرات سرعت) در جهت ضخامت برابر صفر در نظر گرفته می‌شود.  
بدین ترتیب معادله ۲ به صورت زیر خواهد بود [۲]:

$$\begin{pmatrix} U_x \\ U_y \end{pmatrix} = -\frac{1}{\mu} \begin{pmatrix} K_{xx} & K_{xy} \\ K_{yx} & K_{yy} \end{pmatrix} \begin{pmatrix} \frac{\partial P}{\partial x} \\ \frac{\partial P}{\partial y} \end{pmatrix} \quad (4)$$

$$\begin{pmatrix} K_{xx} & K_{xy} \\ K_{yx} & K_{yy} \end{pmatrix} = \begin{pmatrix} \cos\theta & -\sin\theta \\ \sin\theta & \cos\theta \end{pmatrix}^T \begin{pmatrix} K_1 & 0 \\ 0 & K_2 \end{pmatrix} \begin{pmatrix} \cos\theta & -\sin\theta \\ \sin\theta & \cos\theta \end{pmatrix} \quad (5)$$

که  $K_1$  و  $K_2$  به ترتیب نفوذپذیری الیاف در جهت الیاف و عمود بر آن است.  $\theta$  زاویه محور مختصات مفروض (۱،۰) یا محورهای مختصات اصلی (۰،۱) است. بنابراین، معادله ۳ به صورت زیر برای جریان در حالت صفحه‌ای خواهد بود [۲]:

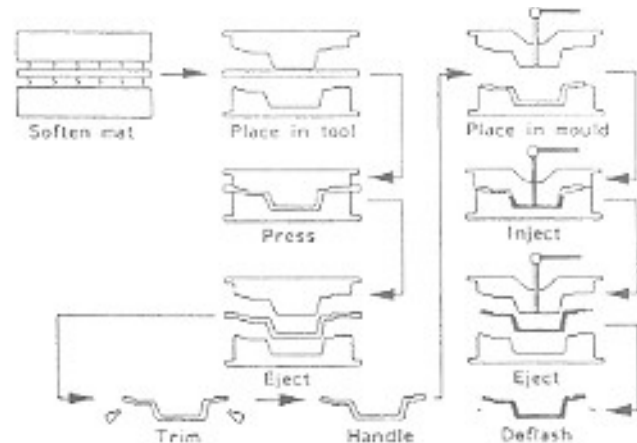
$$\frac{\partial}{\partial x} \left[ \frac{K_{xx}}{\mu} \frac{\partial P}{\partial x} \right] + \frac{\partial}{\partial x} \left[ \frac{K_{xy}}{\mu} \frac{\partial P}{\partial y} \right] + \frac{\partial}{\partial y} \left[ \frac{K_{yx}}{\mu} \frac{\partial P}{\partial x} \right] + \frac{\partial}{\partial y} \left[ \frac{K_{yy}}{\mu} \frac{\partial P}{\partial y} \right] = 0 \quad (6)$$

بطور گلی، دو روش محاسبات عددی برای حل این معادلات و مدل‌سازی جبهه رزین می‌توان برگردید [۲،۷]. روش اول فن تقسیم‌بندی متحرک (moving grid) است که قسم آنچه با رزین در فاصله زمانی مشخص تقسیم‌بندی می‌شود و روش دوم فن یا روش تقسیم‌بندی ثابت (fixed grid) است که تقسیم‌بندی در کل مدت زمان ثابت در نظر گرفته می‌شود. روش اول دقیق‌تر است، ولی در هر فاصله زمانی تقسیم‌بندی محدود لازم است که کاری وقتگیر و برای قالب‌های با چند محل تزریق و به همراه قطعات الحاقی کاری فوق‌العاده مشکل است.

برای شبیه‌سازی فرایند پرشدن قالب آگاهی از میزان نفوذپذیری الیاف (K) لازم است. از حل معادله دارسی در جریان با تزریق از مرکز و با دروازه دایره‌ای شکل معادله زیر حاصل می‌شود [۱۲]:

$$f\left(\frac{P_f}{P_i}\right) = \left[\left(\frac{P_f}{P_i}\right)^2 (2 \ln\left(\frac{P_f}{P_i}\right) - 1) + 1\right] = \frac{4 K P_i t}{\phi \mu c_i^2} \quad (7)$$

که  $t$  شاعر جبهه رزین در زمان  $\tau$ ،  $c$  شاعر محل تزریق،  $\phi$  میزان تخلخل و  $P_i$  فشار تزریق است. با رسم منحنی  $f(P_f/P_i)$  بر حسب  $t$  و عبور بهترین خط، شب آن (۱۱) و نفوذپذیری الیاف بدست می‌آید:



شکل ۱- مراحل یعنی شکل‌دهی الیاف و قالبگیری در فرایند قالبگیری  
نتقالی رزین [۲]

به دلایل متعدد از جمله کاهش زمان قالبگیری، کمک به طراحی جدید و بطور کلی صرفه‌جویی در هزینه و وقت، چه قبل از ساخت قالب و چه در حین فرایند، اهمیت اساسی دارد و درباره این موضوع بسیاری از پژوهشگران مطالعه کرده‌اند [۷-۱۵]. برای انجام چنین محاسباتی به اطلاعات زیادی از جمله شکل هندسی قالب و دروازه، فشار تزریق رزین، تغییرات گرانزوی رزین با زمان و ساعتی برداش، میزان

نفوذپذیری درصد حجمی الیاف لازم است [۵،۱۱]. معمولاً برای مدل‌سازی فرایند پرشدن قالب در فرایند RTM مواردی به عنوان یعنی فرض در نظر گرفته می‌شود که در مقاله قبلی [۶] به آن اشاره شده است. با توجه به این فرضیات معادلات یوستنگی و حرکت (قانون دارسی) به صورت زیر خواهد بود [۶،۷]:

$$\text{معادله یوستنگی:} \quad (11)$$

$$VU = 0$$

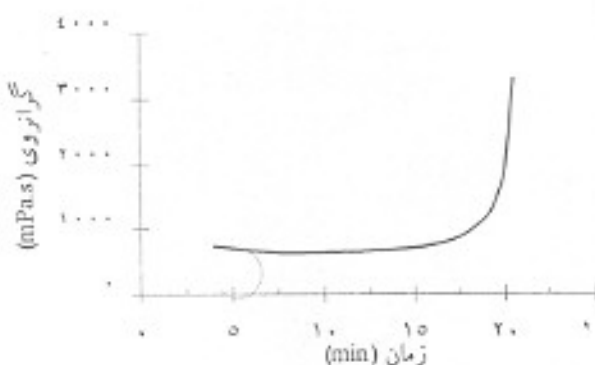
$$\text{معادله حرکت از میان محیط مخلخل (قانون دارسی):} \quad (12)$$

$$U = \frac{K VP}{\mu}$$

با قرار دادن معادله ۲ در معادله ۱ خواهیم داشت:

$$\nabla \left( -\frac{K}{\mu} VP \right) = 0 \quad (13)$$

که در آن  $K$  گرانزوی رزین،  $P$  فشار تزریق،  $K$  تسور نفوذپذیری و  $\mu$  سرعت جبهه رزین است. شرایط مرزی برای حل معادله ۱ عبارت است از  $P=P_i$  در محل تزریق،  $P=0$  در جبهه رزین و در سطوح غیرقابل نفوذ  $\frac{\partial P}{\partial n}=0$ ، که مشتق در جهت ترمال خارج از صفحه مماس بر جبهه



شکل ۲- منحنی تغییرات گرمازوی بر حسب زمان برای رزین پلی استرنوی ایزو.

- میل اتيل کتون پروکسید و کیالت نفتات تجارتی.

$$K = \frac{m \phi \mu T}{\Psi_p} \quad (8)$$

دستگاهها و روشها از دستگاه ویسکومتر بروکفیلد مدل LVF مطابق استاندارد ASTM D ۲۸۸۲ برای اندازه گیری گرمازوی رزین و از روش استاندارد ASTM-D ۲۴۷۱ برای اندازه گیری زمان زل شدن و دمای بخت رزین استفاده شد.

سیستم تزریق رزین برای ساخت نمونه ها از سیستم تزریق یک مرحله ای استفاده شد که طراحی و ساخت آن در پژوهشگاه پلیمر ایران صورت گرفته است. این سیستم شامل یک مخزن هوای فشرده، سیستم مخزن رزین و اسکلت ظری نگهدارنده مخزن و قالب است.

در یک چند لایه ای که تعداد  $n$  لایه از الیاف در آن بکار رفته است، میزان تخلخل عبارت است از [۱۲]:

$$\phi = 1 - \frac{\rho_{PA}}{\rho_{P}} \quad (9)$$

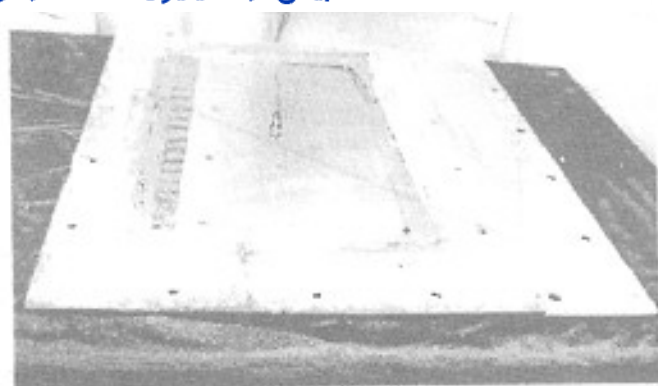
که  $\rho$  تعداد لایه ها،  $\rho_{PA}$  وزن واحد سطح الیاف،  $\rho$  جگالی الیاف و  $\rho_{P}$  ضخامت چند لایه ای است. از نرم افزار LCMPlot برای بررسی مدل ازی فرایند در این کار مطالعاتی استفاده شد که جزئیات بیشتر در مورد آن در مقاله قبلی آورده شده است [۶].

### قالب

قالب موردنظر برای ساخت قطعات به صورت دو کفه ای تهیه شد و شامل یک صفحه فولادی ضخیم به ضخامت ۶ mm و یک صفحه کامپوزیتی بود که صفحه شبشهای برای مشاهده جریان رزین در داخل آن تعییه شده بود. هنگامی که دو کفه قالب با چند بیج و مهره به هم سنه می شوند، محفظه ای به ابعاد  $3 \times 170 \times 170$  mm در بین این دو ایجاد می گردد. سوراخی در مرکز قالب برای تزریق رزین و چهار منفذ در پیرامون آن برای خروج هوا انتخاب شد. شکل ۲ نمایی از قالب مورد استفاده را نشان می دهد.

### نتایج و بحث

شناسایی خواص مواد مصرفی برای شروع یک کار پژوهشی لازم است.



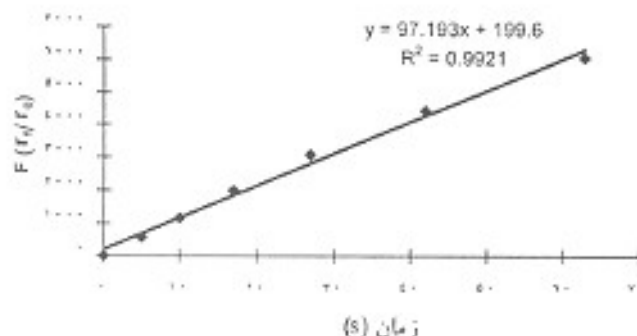
شکل ۲- قالب مورد استفاده.

تجربی

مواد مواد اولیه مورد استفاده در این کار پژوهشی عبارتند از:  
- الیاف شیشه به شکل نمد منقطع (CSM) از نوع E با وزن واحد سطح  $47 \text{ g/m}^2$   
- رزین پلی استرنوی ایزو ۷۵۱۱۲۹ از شرکت صنایع شبیابی بوشهر و

جدول ۱- ترکیب درصد رزین پلی استرنوی ایزو (دمای محیط  $24^\circ\text{C}$  و زمان زل شدن ۲۵ دقیقه است).

مواد	مقدار (g)
رزین	۱۰۰
پروکسید	۱
شتاب دهنده	۰/۲

شکل ۵- تغییرات ( $\frac{\text{kg}}{\text{mm}^2}$ ) بر حسب زمان.

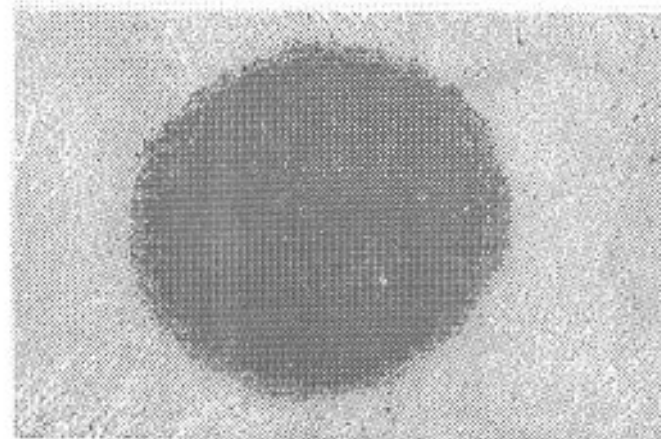
برای محاسبه تقویت‌پذیری الاف از رزین پلی‌استر استفاده شد. گزاروی این رزین در محدوده وسیعی از سرعت‌های برش مختلف ثابت است و سیال رفتار تیوتونی دارد [۱۴]. میزان گزاروی برش رزین مورد استفاده در این آزمایش و در دمای کاربرد حدود  $100 \text{ mPa s}$  است. با آزمایش‌های متعدد فاصله ججهه رزین از محل تزریق ( $\text{mm}$ ) بر حسب زمان اندازه گیری شد و از آنجا ( $\text{mm}$ ) معین گردید و طبق معادله ۷ شب منحنی ( $\text{mm}$ ) بر حسب زمان ( $\text{s}$ ) محاسبه شد که برابر  $97.193 \text{ mm}^{-1}$  بودست آمد. شکل ۵ تغییرات ( $\text{mm}$ ) را بر حسب زمان نشان می‌دهد. فشار تزریق در این آزمایش  $20 \text{ kPa}$  و شعاع محل تزریق  $25 \text{ cm}$  است. از این‌رو، تقویت‌پذیری الاف برابر خواهد شد با:

$$K = \frac{mPa s}{\frac{mm^2}{mm}} \cdot \frac{1}{21 \times 10^{-9} \text{ m}^2} \quad (10)$$

#### شبیدسازی فرایند پرشدن قالب

پس از اعمال فیلم و موی روی دو گفه قالب برای رهابش قطعات قالب‌گیری شده، سه لایه الاف سوزنی بی‌شکل داخل قالب قرار داده شد و قالب با چند بیج و مهره محکم شده شد. سپس، مخلوط رزین، پروکسید و شتاب دهنده با فشار  $40 \text{ kPa}$  تزریق گردید و زمان رسیدن ججهه رزین به نقاط مشخص قالب مشاهده و ثبت گردید. نتایج حاصل از این آزمایش در جدول ۲ ارائه شده است.

برای تحلیل فرایند پرشدن قالب با نرم‌افزار LCMPlot ابتدا شکل هندسی قالب ترسیم و به صورت اجزای متناظر سه گرهی تقسیم‌بندی شد، شکل ۶ نمایی از شکل ایجاد شده در قالب و در حوالی محل تزریق را نشان می‌دهد. سپس با استفاده از نرم‌افزار، معادله حرکت



شکل ۴- ججهه رزین لحظاتی پس از تزریق.

مهمنترین خواص یک رزین شامل چگالی، عمر مفید، زمان ژل شدن و گزاروی است و خواص الاف نیز شامل تقویت‌پذیری، چگالی، میزان تخلخل و وزن واحد سطح است.

با توجه به حداقل زمان مورد نیاز برای یک چرخه فرایند که برای فرار دادن الاف درون حفره قالب، بست آن و آماده شدن جهت تزریق لازم است، ترکیب درصد مناسی از رزین، کاتالیزور (پروکسید) و شتاب دهنده معین شد (جدول ۱).

تغییرات گزاروی آمیزه رزین پلی‌استر (جدول ۱) بر حسب زمان در شکل ۴ ارائه شده است. این شکل نشان می‌دهد که گزاروی آمیزه رزین در مراحل ابتدایی (تقریباً قبل از دقیقه ۱۷) برای قالب‌گیری مناسب است. از این‌رو، قبل از این زمان، تزریق رزین باید پایان یابد و فرایند پوشیدن قالب

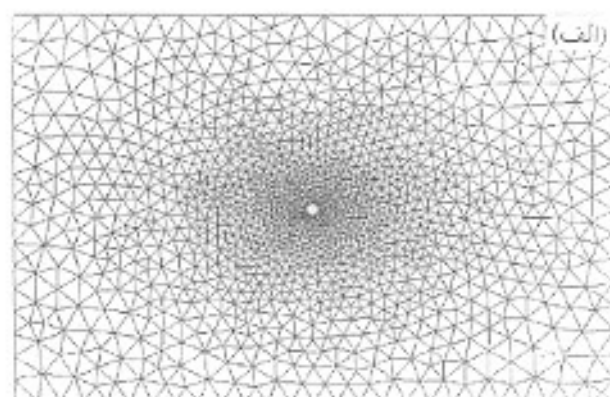
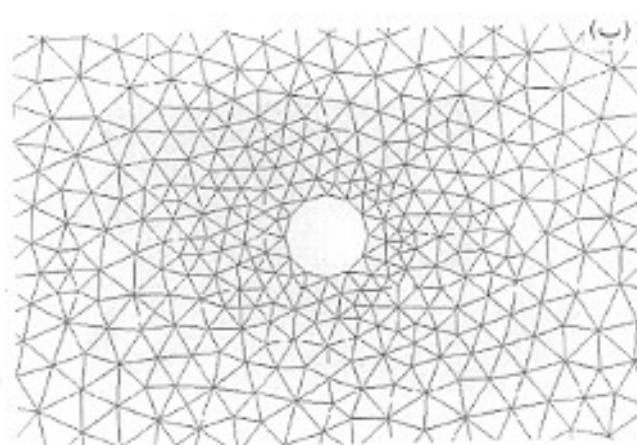
در بررسی خواص الاف نیز ابتدا باید وزن واحد سطح را مشخص کرد. با آزمایش‌هایی که انجام شد وزن واحد سطح الاف برابر  $468 \text{ g/m}^2$  بودست آمد. در تزریق‌های اولیه مشخص شد که ججهه رزین طی تزریق دارای است و بنابراین الاف مورد نظر دارای آرایش کاملاً نظم و خواص همساند (شکل ۴).

میزان تخلخل الاف وابته به تعداد لایه‌های بکار رفته در چند لایه‌ای است (معادله ۹). در این کار تحقیقاتی از سه لایه الاف استفاده شد، بنابراین میزان تخلخل ( $\phi$ ) برابر است با:

$$\phi = \frac{1828}{8172} = 0.223$$

جدول ۲- زمان رسیدن ججهه رزین بر حسب فاصله معین از محل تزریق.

زمان (s)	محل تزریق (cm)	فاصله ججهه رزین از (cm)	پرشدن کامل قالب
۱۷۱	۱۵۱	۱۱۸	۱۲
			۱۱
			۱۰
			۹
			۸
			۷
			۶
			۵
			۴
			۲
			۱



شکل ۶- نمایی از شبکه ایجاد شده: (الف) نمای کلی قالب (تعداد المانها: ۲۸۸۴ عدد) و (ب) در حوالی محل تزریق.

قالبگیری موقع است و تغییر این متغیرها اثر مستقیم بر کیفیت محصول خواهد داشت. اما، در این مقاله اثر متغیرهای یاد شده بر چرخه قالبگیری وزمان پوشش قالب بررسی می شود. در اینجا از میان عواملی که بر زمان پوشش قالب موثر است، به مهندسی تغییر اصلی یعنی نشار تزریق رزین، میزان یاف و گرانوی رزین پرداخته می شود.

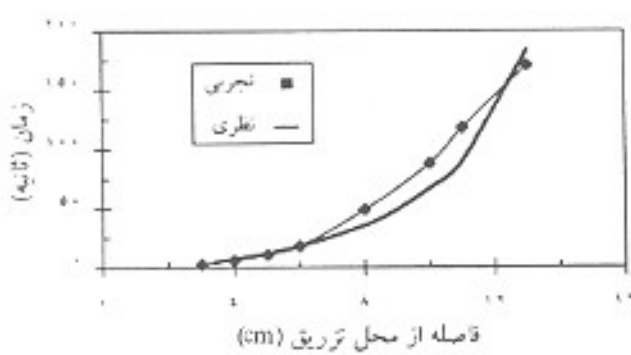
الر فشار تزریق رزین بر زمان پوشش قالب فشار تزریق رزین بر زمان پوشش قالب ارزیابی اثر این متغیر بر زمان پوشش قالب، چهار فشار ۴۰، ۶۰، ۸۰ و ۱۰۰ kPa انتخاب شد. در همه این حالتها، مایر شرایط فرایند از قبیل دمای محیط و رزین، که بر گرانوی آزمایش اثر مستقیم دارد، ثابت است. روش کار بدین صورت است که پس از اعمال فیلم و موسم روی سطوح قالب و قرار دادن سه لایه از یاف در داخل آن، قالب بسته می شود و آزمایش رزین، که از پیش آماده شده است، تحت فشارهای مشخص به درون قالب تزریق می شود. پس از خروج رزین از معلماتی خروج هوا، جریان رزین قطع شده و زمان پوشش قالب محاسبه می شود که نتایج آن در شکل ۷ ارائه شده است. همچنین با استفاده از نرم افزار LCMFlet

(فایلون دارسی) با روش حل عددی اجزای محدود حل شد و جبهه پیش رونده رزین در قالب در زمانهای مختلف معین گردید. شرایط فرایند در جدول ۳ ارائه شده است. در شکل ۷ نتایج حاصل از پیش بینی نظری با مشاهدات تجربی آورده شده است که نشان دهنده تطابق خوب آن دو بوریزه در مراحل ابتدایی است.

برای طراحی و ساخت قالب داستن تغییرات فشار و میزان وسعت این نواحی لازم است. تغییرات فشار در قالب باعث تغییر در ضخامت قطعه بوزیره در نواحی با فشار بالا و در نیجه دقت ابعادی کمتر در آن تقاطع و شستشوی یاف خواهد شد. شکل ۸ این تغییرات را در طول قالب و در زمان پوشش کامل آن نشان می دهد. ملاحظه می شود که فشار در نزدیکی محل تزریق تغییرات بسیار زیادی دارد و با دور شدن از محل تزریق میزان آن بشدت کاهش می یابد و در گوشه های قالب ( محلهای خروج هوا) به حداقل یا نشار اتمسفری کاهش یافته است.

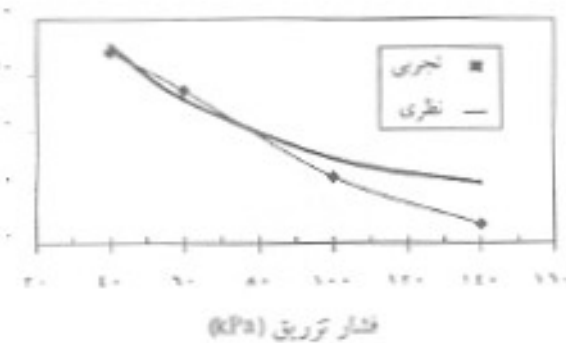
الر متغیرهای فرایند بر زمان پوشش قالب بدینه است که انتخاب مناسب متغیرهای فرایند تنها راه رسیدن به یک

جدول ۲- مشخصات شرایط ورودی مواد و فرایند برای بررسی نظری با نرم افزار.



شکل ۷- فاصله جبهه رزین از محل تزریق بر حسب زمان.

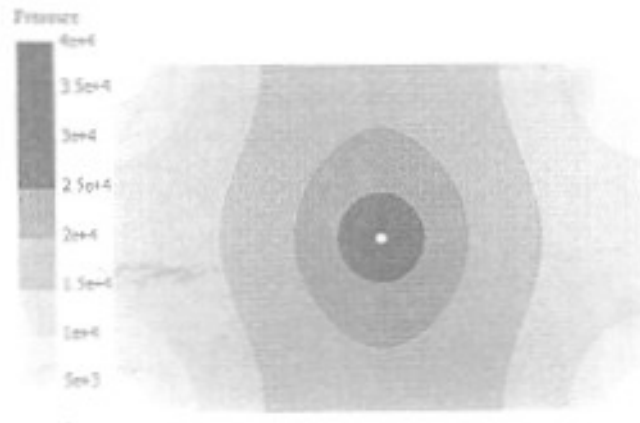
مقدار	ویژگی
۱۴	دمای محیط (C)
۱۲۵۰	گرانوی رزین (mPa)
۴۰	فشار تزریق (kPa)
۰	فشار جبهه رزین (Pa)
$6.21 \times 10^{-9}$	تفویضیابی یاف (m <sup>3</sup> )
۲۶۰، ۱۷۰، ۳	ابعاد قالب (mm)
۵	قطر محل تزریق (mm)



شکل ۹- تغییرات زمان پر شدن قالب بر حسب فشار تزریق.

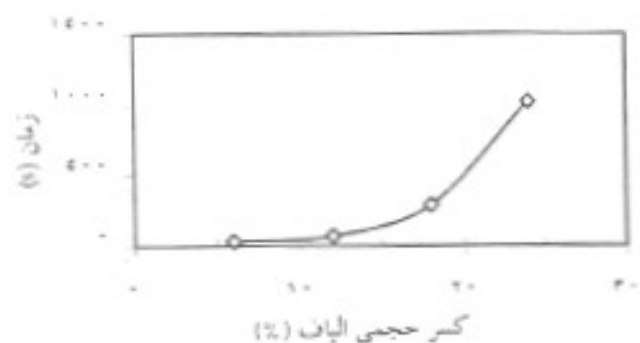
توابع قطعه کاملاً خشک (dry spot) می‌ماند. از این روا برای قالب‌گیری به روش RTM باید به تغییرات در صدای ایاف در طول مسیر جوانان روزین کاملاً توجه داشت و سعی در حذف آن باعث افزایش آن بر فرایند پر شدن قالب کرده.

برای بررسی نظری زمان پر شدن قالب بر حسب تغییرات مقدار ایاف آگاهی از میزان تقویت‌پذیری ایاف ( $K$ ) لازم است. اما، میزان تقویت‌پذیری ایاف خود با استفاده از اندازه‌گیری‌های تحریص زمانهای پر شدن قالب حاصل می‌شود (معادلات ۷ و ۸). بنابراین، بدست آوردن زمان پر شدن قالب با استفاده از میزان تقویت‌پذیری ایاف که خود از زمان پر شدن قالب بدست می‌آید (بدون آنکه هرجا را از این تقویت‌پذیری ایاف خود بگیرد) کاری بیوهود است و بدینهی است که همان اعداد اول حاصل خواهد شد. اما، بدست آوردن میزان تقویت‌پذیری ایاف بر حسب تغییر میزان تخلخل ایاف برای بررسی سایر پارامترها از جمله انرژی اکتیوی روزین بر زمان پر شدن قالب (متغیر مورد بحث در قسمت بعدی) لازم است. برای میزان تخلخل ۸۲ درصد میزان تقویت‌پذیری ایاف بطور دقیق اندازه‌گیری شد که نتیج آن در



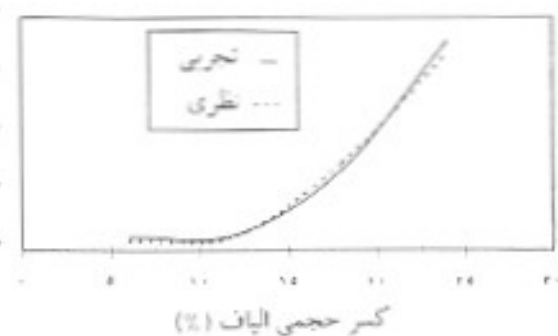
شکل ۸- تغییرات فشار در قالب در هنگام پر شدن.

زمان پر شدن قالب بطور نظری نیز محاسبه شد که نتیج آن در شکل ۹ ارائه شده است. همان طور که این شکل نشان می‌دهد در فشار تزریق بالا، انحراف قابل ملاحظه‌ای بین نتایج نظری و تحریص وجوده دارد. هرچند سرعت متوسط جبهه روزین می‌پر شدن قالب زیاد نیست و بنابراین و براساس مرجع ۱۴ انگلاروی روزین در این محدوده سرعت تزریق تغییرات ثابت است، ولی در تردیدیکی محل تزریق این میزان پیشرفت است. به همین علت ممکن است روزین پلی‌استر رفلکس غیرنیوتونی نشان دهد. علت دیگری نیز متصور است و آن اینکه جون دمه بین ایاف بسیار کم استه افزایش سرعت پرسنر به ایجاد انکرما و در نهایت کاهش انگلاروی می‌شود و بدین علت قالب سریعتر پر خواهد شد.



شکل ۱۰- زمان پر شدن قالب بر حسب مقدار ایاف برای روزین پلی‌استر ( $P_{123}=8 \text{ kPa}$ ,  $\mu=2000 \text{ mPas}$ )

مجله علمی کهکشان پژوهی سال چهاردهم‌هشتم، شماره‌اول، اردیبهشت ۱۳۸۰



شکل ۱۰ - زمان پرشدن قالب بر حسب کسر حجمی الاف برای رزین با گرانزوی کم ( $P_{\text{visc}} = 8 \text{ kPa}$ ,  $\mu = 60 \text{ mPas}$ )

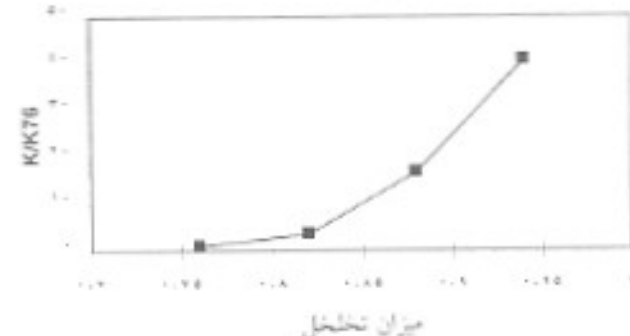
از آنجاکه میزان ۲۶ درصد حجمی الاف، درصد چندان زیاد برای ساخت قطعات کامپوزیشن نیست و در ضمن، قالب مورد استفاده شکلی کاملاً ساده با ابعادی نسبتاً کوچک دارد؛ از این رو بدون درنظر گرفتن خواص قطعات تولیدی و تنها با درنظر گرفتن زمان برش قالبگیری و اثر آن بر اقتصاد فرایند می‌توان نتیجه گرفت که اصولاً رزینهای با گرانزوی زیاد برای این فرایند مناسب نیست. برای دفع این مشکل می‌توان از گرما دادن به عنوان بهترین راه حل برای کاهش گرانزوی رزین بحث نداشت.

#### نتیجه‌گیری

بررسی نتایج تجربی و نظری واکنشی میزان تقویت‌بذری الاف به میزان تخلخل (شکل ۱۱) بیانگر آن است که تغییر اندازک در میزان تخلخل باعث تغییرات زیادی در تقویت‌بذری الاف خواهد شد. از آنجاکه تغییرات میزان تقویت‌بذری الاف باعث ایجاد میله‌های جریان آسان و در نتیجه ساخت قطعات معیوب می‌گردد، از این رو برای ساخت قطعات کامپوزیشن به روش RTM باید به این مسئلله توجه داشت و سعی در حذف و یا برعکس کردن میله‌های جریان آسان در فرایند پرشدن قالب کرد.

بررسی نتایج تجربی و نظری فرایند پرشدن قالب و مطالعه اثر متغیرهای فرایندی فشار تریک رزین، میزان الاف و گرانزوی رزین بیانگر آن است که افزایش فشار تریک، به کاهش شدید زمان پرشدن قالب منجر می‌شود، در فشارهای تریک زیاد، کاهش زمان پرشدن قالب به دلیل کاهش گرانزوی رزین، باز هم بیشتر خواهد شد و باعث اختلاف میان نتایج تجربی و نتایج نظری می‌شود.

تغییرات میزان الاف، به تغییرات بسیار شدید در زمان پرشدن قالب منجر می‌شود (شکل ۱۱) و موبایل این مطلب است که تغییرات



شکل ۱۱ - میزان تقویت‌بذری میان بعد شده بر حسب تخلخل (G)

فسنهای قبل از آن شده است. استفاده از عدد زمان پرشدن کامل قالب به تنهایی برای تعیین تقویت‌بذری توأم با اندکی خطایست که میزان خطا در نتایج تجربی بسیار کمتر از پنج درصد است. طبق معادله دارموی ارتباط میزان تخلخل ( $\phi$ ) با تقویت‌بذری الاف ( $K$ ) برابر است با:

$$K = A \frac{\phi}{t_{\text{eff}}} \quad (11)$$

این است که بستگی به مشخصات قالب و رزین دارد (معادله ۷). تسودار ارتباط تقویت‌بذری با میزان تخلخل و زمانهای بدست آمده از زمان پرشدن قالب (شکل ۱۰) رسم شد که نتایج آن در شکل ۱۱ از آن شده است. میان دو حالت تقویت‌بذری برای تخلخل ۷۶ درصد در نظر گرفته شده است.

بررسی اثر گرانزوی رزین بر زمان پرشدن قالب افزایش دمای محیط با افزودن رقیق کشته‌های واکنش‌بذری باعث کاهش گرانزوی رزین خواهد شد. بدینهی است کاهش گرانزوی رزین باعث پرشدن سریعتر قالب و کاهش حبابهای ریختن شده در داخل الاف خواهد شد. برای بررسی اثر این متغیر بر زمان پرشدن قالب از دوین پلی‌استری استفاده شد که گرانزوی آن در شرایط آزمایش ۳۰۰ mPas است. در این آزمایشها نیز تعداد لایه‌های الاف بکار رفته در ساخت قطعات از یک تا چهار لایه تغییر می‌کند. شکل ۱۲ زمان پرشدن قالب را برای این شرایط شناس می‌دهد. برای بررسی زمان پرشدن به صورت نظری از مقدار عددی تقویت‌بذری الاف که در شکل ۱۱ از آن شده است، استفاده شد. ملاحظه می‌شود که نتایج تجربی و نظری زمان پرشدن قالب تطابق قابل قبولی باهم دارند. از مقایسه شکل‌های ۱۰ و ۱۱ مشاهده می‌شود که کاهش گرانزوی از ۴۰۰ به ۳۰۰ mPas در شرایط ۲۶ درصد حجمی الاف، باعث کاهش زمان پرشدن قالب از حدود ۱۷ دقیقه به حدود ۴ دقیقه می‌شود.

۶- فصیحی دستجردی علی و بهشتی محمدحسین، تعیین محلهای تزریق و نقاط خروج هوای قطعات لوله‌ای شکل در فرایند RTM به روش تحریبی و شیوه‌سازی، مجله علوم و تکنولوژی پلیمر، سال سیزدهم، شماره ۵۰، زمستان ۱۳۷۹.

7. Golestanian H. and El-Gizawy A. S., Physical and Numerical Modeling of Mold Filling in Resin Transfer Moulding; *Polym. Comp.*; **19**, 4, 395-407, August 1998.
8. Trochu F., Gauvin R. and Gao D. M., Numerical Analysis of the Resin Transfer Moulding Process by the Finite Element Method; *Adv. Polym. Tech.*; **12**, 4, 329-42, 1993.
9. Kang M. K., Jung J. and Lee W. I., Analysis of Resin Transfer Moulding; Process with Controlled Multiple Gates Resin Injection; *Composites*; **31**, 5, 407-22, 2000.
10. Lin M. Y. and Hahn H. T., Resin Transfer Moulding Process Optimization; *Composites*; **31**, 4, 361-71, 2000.
11. Chen Y. E. and Stelson K. A., Prediction of Filling Time and Vent Locations for Resin Transfer Molds; *J. Comp. Mater.*; **31**, 11, 1141-61, 1997.
12. Carter E. J., Fell A. W., Griffin P. R. and Summerscales J., Data Validation Procedures for the Automated Determination of the Two-Dimensional Permeability Tensor of a Fabric Reinforcement; *Composites*; **27**, 4, 255-61, 1996.
13. Hayward J. S. and Harris B., Processing Factors Affecting the Quality of Resin Transfer Moulded; *Comp. Plast. Rubber Proc. Appl.*; **11**, 4, 191-98, 1989.
14. Gebart B. R., Permeability of Unidirectional Reinforcement for RTM; *J. Comp. Mater.*; **26**, 1100-33, 1992.

میزان تخلخل در الیاف پیش شکل داده شده بر روند و چگونگی پرشدن قالب اثر شدید دارد و تا حد امکان باید از این گونه تغییرات اجتناب کرد.

استفاده از رزینهای با گرانزوی زیاد منجر به افزایش بسیار زیاد زمان پرشدن قالب می‌شود. با توجه به میزان حداکثر الیاف مورد استفاده در این پژوهش (حدود ۲۴ درصد حجمی) که البته میزان چندان بالایی نیست و مشاهده افزایش بسیار شدید زمان پرشدن قالب می‌توان این گونه تتجه گرفت که بطور کلی، رزینهای با گرانزوی زیاد برای این فرایند مناسب نیست.

با توجه به نتایج قابل قبول مشاهدات تجربی با نتایج نظری می‌توان نتیجه گرفت که قبل از شروع هر فعالیتی مدلسازی فرایند به دلیل صرفه‌جویی قابل ملاحظه در زمان و هزینه کاملا ضروری بنظر مرسد.

## مراجع

1. Johnson C. F., *Resin Transfer Moulding in Composite Materials Technology*, Mallick P. K. and Newman S. (Eds.), Hanser, New York, 103-76, 1990.
2. Rudd C. D., Long A. C., Kendall K. N. and Mangin C. G. E., *Liquid Moulding Technologies*; Wood head, Cambridge, England, 1-37, 1997.
3. Kendall K. N., Rudd C. D., Owen M. J. and Middleton V., Characterization of the Resin Transfer Moulding Process; *Comp. Manufac.*; **3**, 4, 235-49, 1992.
4. Yu H. W. and Young W. B., Optimal Design of Process Parameter for Resin Transfer Molding; *J. Composite Mater.*; **31**, 11, 1113-40, 1997.
5. Potter K.; *Resin Transfer Moulding*; Chapman & Hall, U.K., 1-141, 1997.